

**ПОЛЗУЧЕСТЬ УПРУГО-ВЯЗКИХ СРЕД С ЯДРОМ
ТИПА ВЫРОЖДЕННОЙ ГИПЕРГЕОМЕТРИЧЕСКОЙ ФУНКЦИИ**

В. Ф. ЛИСТОВНИЧИЙ, Т. Д. ШЕРМЕРГОР

(Москва)

Использование динамических методов исследования показывает, что большинство твердых тел обладает достаточно широким релаксационным спектром. Однако на практике приходится иметь дело с ограниченными интервалами времени (t_1, t_2) . Очевидно, на интервале (t_1, t_2) будут проявляться не все релаксационные процессы, а лишь те, функция распределения времен релаксаций $H(\tau)$ для которых ограничена временами (τ_1, τ_2) , причем $\tau_1 \leq t_1$, $\tau_2 \geq t_2$. Поэтому для описания релаксации напряжений и ползучести линейных упруго-вязких материалов с достаточной степенью точности можно ограничиться обрезанной функцией распределения, а влияние участков спектра, лежащих вне интервала (τ_1, τ_2) учесть интегрально. Очевидно, для $t < t_1$, когда основную роль играет область τ , лежащая слева от τ_1 , будет наблюдаться «мгновенная» релаксация напряжений при заданной деформации и некоторая дополнительная «мгновенная» деформация ползучести, если материал находится под действием постоянного напряжения.

Если форма начальных участков кривых (для $t \geq t_1$) не играет существенной роли, то соответствующие дополнительные мгновенные напряжения и деформации могут быть учтены перенормировкой упругих модулей и податливостей. Соответствующая техника изложена, например, в работе [1]. Участки спектра, лежащие справа от отрезка (τ_1, τ_2) за время наблюдения практически не проявятся и поэтому их можно не принимать в расчет.

Имея в виду такой подход, будем описывать ползучесть упруго-вязкого материала при помощи ядра вида ${}_1F_1(a+1, 2, -t/\tau_e)$. Как показано ранее [2], такие ядра приводят к релаксационному спектру, отличающемуся от соответствующей функции распределения ядра Ржаницына — Дэвидсона [3, 4] инверсией времен релаксаций и могут быть использованы для описания наследственных свойств полимеров в области перехода из стеклообразного в высокозластичное состояние.

1. Определим интегральные операторы упругих модулей M^* и податливостей J^* равенствами

$$M^* = M_\infty(1 - qR^*) = M_0(1 + pS^*D), \quad D = \partial / \partial t \quad (1.1)$$

$$J^* = J_\infty(1 + pK^*) = J_0(1 - qP^*D) \quad (1.2)$$

Безразмерные интегральные операторы R и K , а также параметры q и p должны удовлетворять следующим нормировочным соотношениям:

$$R = -DS > 0, \quad K = -DP > 0, \quad S(0) = P(0) = 1 \quad (1.3)$$

$$p = q/m, \quad q = 1 - m, \quad m = M_0/M_\infty = J_\infty/J_0 \quad (1.4)$$

Здесь M_∞ и M_0 — соответственно нерелаксированное и релаксированное значения упругих модулей (для определенности — модулей сдвига) и аналогично для податливостей.

Ядро типа вырожденной гипергеометрической функции может быть определено следующим выражением Фурье-образа интегрального оператора упругого модуля

$$M(i\omega) = M_0 + (M_\infty - M_0)(1 + 1/i\omega\tau_e)^{-\alpha} \quad (1.5)$$

где τ_e — характерное время релаксации, α — параметр дробности.

Из равенства (1.5) следует

$$S(t) = {}_1F_1(a, 1, -\theta), \quad R(t) = \frac{a}{\tau_e} {}_1F_1(1 + a, 2, -\theta), \quad \theta = \frac{t}{\tau_e} \quad (1.6)$$

где ${}_1F_1$ — вырожденная гипергеометрическая функция.

Интегральные операторы S и R дают функции релаксации и ползучести. Определим функции релаксации и ползучести соотношениями

$$\sigma(t) = M_0[1 + p\Phi(t)]\varepsilon(t), \quad \varepsilon(t) = \varepsilon_0\mathbf{1}(t) \quad (1.7)$$

$$\varepsilon(t) = J_\infty[1 + p\Psi(t)]\sigma(t), \quad \sigma(t) = \sigma_0\mathbf{1}(t) \quad (1.8)$$

$$\mathbf{1}(t < 0) = 0, \quad \mathbf{1}(t > 0) = 1$$

Тогда будем иметь

$$\varphi = S, \quad \psi = 1 - P \quad (1.9)$$

Наряду с равенством (1.5), наследственные свойства материала могут быть заданы при помощи аналогичного выражения для Фурье-образа интегрального оператора податливостей

$$J(i\omega) = J_0[1 - q(1 + 1/i\omega\tau_\sigma)^{-\alpha}] \quad (1.10)$$

Легко видеть, что такой подход эквивалентен замене операторов и времен релаксации

$$P \rightleftharpoons K, \quad S \rightleftharpoons P, \quad \tau_\varepsilon \rightleftharpoons \tau_\sigma \quad (1.11)$$

Ниже для определенности будет рассматриваться схема, построенная на базе соотношений (1.5).

2. Переидем к вычислению ядер K и P . Из равенства (1.1) и (1.2) следует

$$(1 - qR^*)^{-1} = 1 + qm^{-1}K^*(q) \quad (2.1)$$

Отсюда

$$\frac{1}{m}K^*(q) = \frac{1}{R^{*-1} - q}, \quad R^* = \frac{1}{m}K^*(0) \quad (2.2)$$

Из выражений (2.2) видно, что если исходное ядро описывается соотношением (1.6), то ядра K и P могут быть представлены в виде рядов по вырожденным гипергеометрическим функциям [2]

$$K(t) = \frac{\alpha}{\tau_\varepsilon}(1+p) \sum_0^\infty (n+1)(-p)^n {}_1F_1[\alpha(n+1)+1, 2, -\theta] \quad (p < 1) \quad (2.3)$$

$$K(t) = -\frac{\alpha}{\tau_\varepsilon} \left(1 + \frac{1}{p}\right) \sum_0^\infty n(-p)^{-n} {}_1F_1[\alpha(1-\alpha n, 2, -\theta)] \quad (p > 1)$$

$$P(t) = (1+p) \sum_0^\infty (-p)^n {}_1F_1[\alpha(n+1), 1, -\theta] \quad (p < 1) \quad (2.4)$$

$$P(t) = \left(1 + \frac{1}{p}\right) \sum_0^\infty (-p)^{-n} {}_1F_1[-\alpha n, 1, -\theta] \quad (p > 1)$$

Однако вырожденная гипергеометрическая функция сама определяется при помощи ряда. Поэтому для вычисления K и P приходится иметь дело с двойными рядами, что вследствие слабой сходимости рядов для гипергеометрических функций приводит к чрезмерно большому объему вычислительных работ. В этой связи ниже рассматривается другой подход, основанный на обращении функции распределения времен релаксаций.

3. Определим функции распределения времен релаксаций $H(\tau)$ и времен запаздывания $L(\tau)$ соотношениями

$$\varphi(t) = \int_{-\infty}^{+\infty} H(\tau) e^{-t/\tau} d\ln \tau, \quad \psi(t) = \int_{-\infty}^{+\infty} L(\tau) [1 - e^{-t/\tau}] d\ln \tau \quad (3.1)$$

Введенные таким образом функции H и L могут быть вычислены, если известен Фурье-образ операторов упругих модулей и податливостей. Соответствующие соотношения имеют вид [5]

$$H\left(\frac{1}{\omega}\right) = \pm \frac{1}{\pi \Delta M} \operatorname{Im} M(\omega e^{\pm i\pi}), \quad L\left(\frac{1}{\omega}\right) = \mp \frac{1}{\pi \Delta J} \operatorname{Im} J(\omega e^{\pm i\pi}) \quad (3.2)$$

Подставляя сюда выражение $M(\omega)$ согласно равенству (1.1), получим

$$H(\tau) = \frac{\sin \alpha\pi}{\pi} \left(\frac{\tau}{\tau_e} - 1 \right)^{-\alpha} \quad (\tau > \tau_e), \quad H(\tau) = 0 \quad (\tau < \tau_e) \quad (3.3)$$

$$L(\tau) = \frac{\sin \alpha\pi}{\pi} \frac{\xi}{q^2 + \xi^2 + 2q\xi \cos \alpha\pi} \quad (\tau > \tau_e), \quad L(\tau) = 0 \quad (\tau < \tau_e) \quad (3.4)$$

$$\xi \equiv m(\tau/\tau_e - 1)^\alpha, \quad q = 1 - m \quad (3.5)$$

Как видно из приведенных формул, при временах релаксации τ , лежащих не слишком близко к τ_e , имеет место зависимость $H \sim \tau^{-\alpha}$, которая при $\alpha = 1/2$ совпадает с известной формулой Рауза, описывающей релаксацию полимеров в переходной области [5].

При помощи функции распределения (3.4) равенство (3.1) может быть представлено в виде

$$\psi(t) = 1 - \frac{\sin \alpha\pi}{\pi} \int_{\tau_e}^{\infty} \frac{\xi}{q^2 + \xi^2 + 2q\xi \cos \alpha\pi} \exp\left(-\frac{t}{\tau}\right) \frac{d\tau}{\tau} \quad (3.6)$$

При этом учтено условие нормировки

$$\int_{-\infty}^{+\infty} L(\tau) d\ln \tau = 1 \quad (3.7)$$

Введем безразмерное время $\theta = t/\tau_e$ и перейдем к новой переменной интегрирования $x = \tau_e/\tau$, тогда получим

$$\psi = 1 - I_\alpha(q, \theta), \quad P = I_\alpha(q, \theta) \quad (3.8)$$

$$I_\alpha(q, \theta) = \frac{\sin \alpha\pi}{\pi} \int_0^1 \frac{\eta e^{-\theta x}}{q^2 + \eta^2 + 2q\eta \cos \alpha\pi} \frac{dx}{x}, \quad \eta \equiv m \left(\frac{1}{x} - 1 \right)^\alpha$$

Сопоставляя равенства (3.8) с выражениями (1.3) и (1.9), находим интегральное представление rezольвентного ядра

$$K = -\frac{1}{\tau_e} \frac{d}{d\theta} I_\alpha(q, \theta) = \frac{\sin \alpha\pi}{\pi \tau_e} \int_0^1 \frac{\eta e^{-\theta x} dx}{q^2 + \eta^2 + 2q\eta \cos \alpha\pi} \quad (3.9)$$

В частном случае $\alpha = q = 1/2$ интегрирование приводит к вырожденной гипергеометрической функции

$$\psi = 1 - {}_1F_1(1/2, 2, -\theta) \quad (3.10)$$

Однако в общем случае произвольных α и q возможно лишь численное интегрирование.

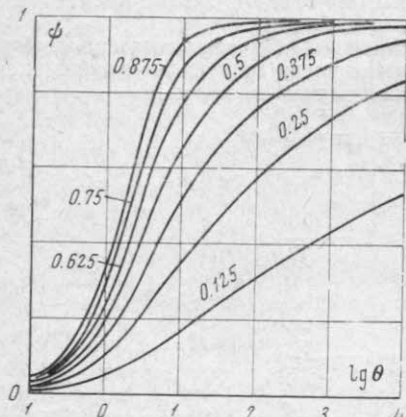
Интегральное представление (3.9) можно получить и непосредственно из разложений (2.3)–(2.4), если воспользоваться интегральным представлением вырожденной гипергеометрической функции

$${}_1F_1(v, 1, x) = \frac{1}{\Gamma(v)} \int_0^1 e^{xy} y^{v-1} (1-y)^{-v} dy \quad (3.11)$$

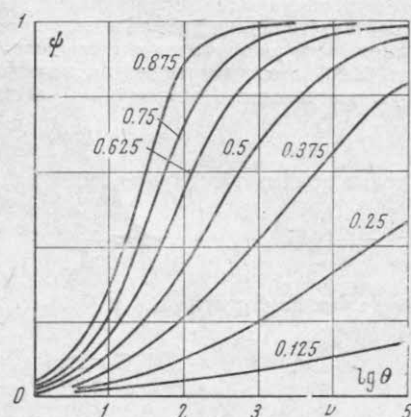
Подставляя равенство (3.11) в каждое из выражений (2.4) и проводя формально суммирование под знаком интеграла, в обоих случаях приходим к интегралу (3.8). Аналогично, формальное суммирование рядов (2.3) при помощи интегрального представления вырожденной гипергеометрической функции приводит в обоих случаях к интегралу (3.9).

Следует подчеркнуть, однако, что такой вывод соотношения (3.9) не может считаться строгим, так как использование интегральное представление функции ${}_1F_1(v, \beta, x)$ имеет место лишь при $0 < \operatorname{Re} v < \operatorname{Re} \beta$, тогда как почти для всех членов рядов (2.3) — (2.4) это условие не выполняется. Вместе с тем вывод, основанный на использовании функции распределения является вполне строгим и не содержит областей, в которых функции не определены.

Функция $1 - I_\alpha(q, 0)$ при различных значениях параметров приведена на фиг. 1 и 2. Семейство кривых фиг. 1 построено для $m = 0.5$. Цифрами у кривых указаны значения параметра дробности a . На фиг. 2 приведены те же кривые при $m = 0.05$. Как видно из сопоставления кривых, уменьшение параметра m приводит к более слабой зависимости интегралов от приведенного времени.



Фиг. 1



Фиг. 2

Ввиду того, что предынтегральная функция имеет слабую особенность в окрестности точки $x = 0$, область интегрирования (0,1) разбивалась на интервалы $(10^{-n-1}, 10^{-n})$, а искомый интеграл представлялся в виде ряда

$$I = I_0 + I_1 + I_2 + \dots$$

каждый член которого есть результат интегрирования на n -м интервале. Необходимое количество слагаемых ряда выбиралось из условия, чтобы разность $1 - I_\alpha(q, 0)$ обеспечивала требуемую точность. Для построения графика при точности не менее 1% оказывалось достаточным вычислять пять слагаемых ряда.

4. Аналогичный подход может быть проведен и для дробно-экспоненциальных ядер, введенных Ю. Н. Работниковым [6]. Имеем

$$M(i\omega) = M_\infty - \frac{\Delta M}{1 + (i\omega\tau_e)^\alpha}, \quad J(i\omega) = J_\infty + \frac{\Delta J}{1 + (i\omega\tau_\sigma)^\alpha}, \quad (4.1)$$

$$H(\tau) = \frac{1}{2\pi} \frac{\sin a\pi}{\operatorname{ch} [\alpha \ln(\tau/\tau_e)] + \cos a\pi}, \quad L(\tau) = \frac{1}{2\pi} \frac{\sin a\pi}{\operatorname{ch} [\alpha \ln(\tau/\tau_\sigma)] + \cos a\pi} \quad (4.2)$$

$$\varphi(t) = I_\alpha(\theta_e), \quad \psi(t) = 1 - I_\alpha(\theta_\sigma) \quad (4.3)$$

$$I_\alpha(\theta) = 1 - \mathcal{I}_\alpha * 1 = \frac{\sin a\pi}{\pi} \int_0^\infty x^{\alpha-1} (1 + x^{2\alpha} + 2x^\alpha \cos a\pi)^{-1} e^{-\theta x} dx$$

$$\theta_e = \frac{t}{\tau_e}, \quad \theta_\sigma = \frac{t}{\tau_\sigma}, \quad \left(\frac{\tau_e}{\tau_\sigma} \right)^\alpha = \frac{M_0}{M_\infty}, \quad \theta = \begin{cases} \theta_e & 0 < a < 1 \\ \theta_\sigma & a > 1 \end{cases} \quad (4.4)$$

В отличие от предыдущего случая функции распределения $H(\tau)$ и $L(\tau)$ в логарифмических координатах симметричны и лишь сдвинуты одна относительно другой.

Наряду с функциями распределения (4.2) иногда применяется функция распределения [7, 8]

$$H(\tau) = \frac{1}{\pi} \frac{\sin a\tau}{\operatorname{ch} [2a \ln(\tau/\tau_0)] + \cos a\tau} \quad (4.5)$$

вытекающая из эмпирического выражения для мнимой части модуля упругости [9]

$$\operatorname{Im} M = (M_\infty - M_0) \operatorname{sch} [a \ln(\omega \tau_0)] \quad (4.6)$$

Функция (4.5) так же, как и (4.2), приводит [10] к симметричной диаграмме $M'' = M''(M')$, однако для нее функция распределения времен запаздывания $L(\tau)$ уже не будет иметь такой же вид, как $H(\tau)$. Поэтому более удобными будут функции (4.2), соответствующие дробно-экспоненциальному ядру.

Сопоставим релаксацию и ползучесть рассматриваемой среды согласно формулам (1.8) и (3.10) с соответствующим поведением материала при дробно-экспоненциальной функции памяти. Полагая $a = 1/2$ в последнем случае, находим

$$\varphi = e^\theta \operatorname{erfc} \theta, \quad \psi = 1 - e^\theta \operatorname{erfc} \theta \quad (4.7)$$

Отсюда асимптотика $\theta \rightarrow \infty$ имеет вид

$$\varphi \approx \frac{1}{\sqrt{\pi \theta}}, \quad \psi \approx 1 - \frac{1}{\sqrt{\pi \theta}} \quad (4.8)$$

Тогда как из формул (1.8) и (3.12) следует:

$$\varphi \approx \frac{1}{\sqrt{\pi \theta}}, \quad \psi = 1 - \frac{2}{\sqrt{\pi \theta}} \quad (4.9)$$

Отметим, что асимптотические оценки для φ , а также для ψ согласно (4.8) имеют место при любых m . В равенстве (4.9) при вычислении ψ принималось $m = a = 1/2$.

При использовании функции распределения (4.5), приняв $a = 1/2$, для функции релаксации найдем

$$\varphi = \frac{2}{\pi} (\operatorname{ci} \theta \sin \theta - \operatorname{si} \theta \cos \theta) \quad (4.10)$$

Отсюда асимптотика при больших θ

$$\varphi \approx \frac{2}{\pi \theta} \quad (4.11)$$

т. е. имеет место более быстрое убывание, чем в обоих предыдущих случаях.

Поступила 30 VII 1968

ЛИТЕРАТУРА

- Колтунов М. А. О выделении главной части наследственных функций влияния для описания релаксационных процессов в начальный период. Механика полимеров, 1967, № 4, стр. 625.
- Шермергорт Т. Д. Реологические характеристики упруговязких материалов, обладающих асимметричным релаксационным спектром. Инж. ж. МТТ, 1967, № 5.
- Davidson D. W., Cole R. H. Dielectric Relaxation in Glycerol, Propylene, Glycol and n-Propanol. J. Chem. Phys., 1951, vol. 19, No. 12.
- Ржаницын А. Р. Некоторые вопросы механики систем, деформирующихся во времени. М.—Л., Гостехтеориздат, 1949.
- Ферри Дж. Вязко-упругие свойства полимеров. М., Изд-во иностр. лит., 1963.
- Работнов Ю. Н. Равновесие упругой среды с последействием. ПММ, 1948, т. 12, вып. 1.
- Шермергорт Т. Д. Расчет функций распределения констант релаксаций для упруго-вязких тел. Изв. вузов, Физика, 1960, № 3.
- Шермергорт Т. Д. Расчет функций распределения констант релаксаций по дисперсии действительной части комплексной упругости для упруго-вязких тел. Изв. вузов, Физика, 1961, № 1.
- Браун В. Диэлектрики. М., Изд-во иностр. лит., 1961.
- Шермергорт Т. Д. О симметрии релаксационного спектра. Тр. Новоузнецкого пед. ин-та, сер. физ.-матем., 1962, т. 4.